

International **IR** Rectifier

PD-95910

IRG4PSH71KDPbF

INSULATED GATE BIPOLAR TRANSISTOR WITH ULTRAFAST SOFT RECOVERY DIODE

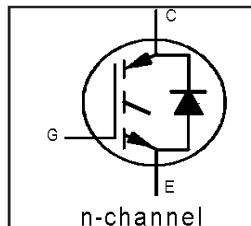
Features

- Hole-less clip/pressure mount package compatible with TO-247 and TO-264, with reinforced pins
- High short circuit rating IGBTs, optimized for motorcontrol
- Minimum switching losses combined with low conduction losses
- Tightest parameter distribution
- IGBT co-packaged with ultrafast soft recovery antiparallel diode
- Creepage distance increased to 5.35mm
- Lead-Free

Benefits

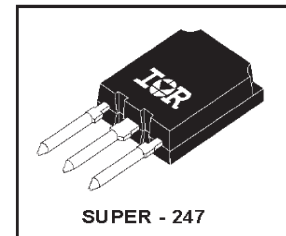
- Highest current rating copack IGBT
- Maximum power density, twice the power handling of the TO-247, less space than TO-264
- HEXFRED™ diode optimized for operation with IGBT, to minimize EMI, noise and switching losses

Absolute Maximum Ratings



Short Circuit Rated
UltraFast IGBT

$V_{CES} = 1200V$
 $V_{CE(on)} \text{ typ.} = 2.97V$
 $@V_{GE} = 15V, I_c = 42A$



	Parameter	Max.	Units
V_{CES}	Collector-to-Emitter Voltage	1200	V
$I_c @ T_c = 25^\circ C$	Continuous Collector Current	78	A
$I_c @ T_c = 100^\circ C$	Continuous Collector Current	42	
I_{CM}	Pulsed Collector Current ①	156	
I_{LM}	Clamped Inductive Load Current ②	156	
$I_F @ T_c = 100^\circ C$	Diode Continuous Forward Current	42	
I_{FM}	Diode Maximum Forward Current	156	
t_{sc}	Short Circuit Withstand Time	10	μs
V_{GE}	Gate-to-Emitter Voltage	± 20	V
$P_d @ T_c = 25^\circ C$	Maximum Power Dissipation	350	W
$P_d @ T_c = 100^\circ C$	Maximum Power Dissipation	140	
T_j T_{STG}	Operating Junction and Storage Temperature Range	-55 to +150	
	Soldering Temperature, for 10 sec.	300 (0.063 in. (1.6mm) from case)	$^\circ C$

Thermal Resistance\ Mechanical

	Parameter	Min.	Typ.	Max.	Units
$R_{\theta JC}$	Junction-to-Case - IGBT	—	—	0.36	$^\circ C/W$
$R_{\theta JC}$	Junction-to-Case - Diode	—	—	0.69	
$R_{\theta CS}$	Case-to-Sink, flat, greased surface	—	0.24	—	
$R_{\theta JA}$	Junction-to-Ambient, typical socket mount	—	—	38	
	Recommended Clip Force	20.0(2.0)	—	—	N (kgf)
	Weight	—	6 (0.21)	—	g (oz)

IRG4PSH71KDPbF

International
Rectifier

Electrical Characteristics @ $T_J = 25^\circ\text{C}$ (unless otherwise specified)

	Parameter	Min.	Typ.	Max.	Units	Conditions
$V_{(\text{BR})\text{CES}}$	Collector-to-Emitter Breakdown Voltage ^③	1200	—	—	V	$V_{\text{GE}} = 0\text{V}$, $I_C = 250\mu\text{A}$
$\Delta V_{(\text{BR})\text{CES}/\Delta T_J}$	Temperature Coeff. of Breakdown Voltage	—	1.1	—	V/ $^\circ\text{C}$	$V_{\text{GE}} = 0\text{V}$, $I_C = 10\text{mA}$
$V_{\text{CE}(\text{on})}$	Collector-to-Emitter Saturation Voltage	—	2.97	3.9	V	$I_C = 42\text{A}$ $V_{\text{GE}} = 15\text{V}$
		—	3.44	—		$I_C = 78\text{A}$ See Fig. 2, 5
		—	2.60	—		$I_C = 42\text{A}$, $T_J = 150^\circ\text{C}$
$V_{\text{GE}(\text{th})}$	Gate Threshold Voltage	3.0	—	6.0		$V_{\text{CE}} = V_{\text{GE}}$, $I_C = 250\mu\text{A}$
$\Delta V_{\text{GE}(\text{th})/\Delta T_J}$	Temperature Coeff. of Threshold Voltage	—	-12	—	mV/ $^\circ\text{C}$	$V_{\text{CE}} = V_{\text{GE}}$, $I_C = 1.5\text{mA}$
g_{fe}	Forward Transconductance ^④	25	38	—	S	$V_{\text{CE}} = 50\text{V}$, $I_C = 42\text{A}$
I_{CES}	Zero Gate Voltage Collector Current	—	—	500	μA	$V_{\text{GE}} = 0\text{V}$, $V_{\text{CE}} = 1200\text{V}$
		—	—	10	mA	$V_{\text{GE}} = 0\text{V}$, $V_{\text{CE}} = 1200\text{V}$, $T_J = 150^\circ\text{C}$
V_{FM}	Diode Forward Voltage Drop	—	2.5	3.7	V	$I_C = 42\text{A}$ See Fig. 13
		—	2.4	—		$I_C = 42\text{A}$, $T_J = 150^\circ\text{C}$
I_{GES}	Gate-to-Emitter Leakage Current	—	—	± 100	nA	$V_{\text{GE}} = \pm 20\text{V}$

Switching Characteristics @ $T_J = 25^\circ\text{C}$ (unless otherwise specified)

	Parameter	Min.	Typ.	Max.	Units	Conditions
Q_g	Total Gate Charge (turn-on)	—	410	610	nC	$I_C = 42\text{A}$
Q_{ge}	Gate - Emitter Charge (turn-on)	—	47	70		$V_{\text{CC}} = 400\text{V}$ See Fig. 8
Q_{gc}	Gate - Collector Charge (turn-on)	—	145	220		$V_{\text{GE}} = 15\text{V}$
$t_{d(\text{on})}$	Turn-On Delay Time	—	67	—	ns	
t_r	Rise Time	—	84	—		$T_J = 25^\circ\text{C}$
$t_{d(\text{off})}$	Turn-Off Delay Time	—	230	350		$I_C = 42\text{A}$, $V_{\text{CC}} = 800\text{V}$
t_f	Fall Time	—	130	190		$V_{\text{GE}} = 15\text{V}$, $R_G = 5.0\Omega$
E_{on}	Turn-On Switching Loss	—	5.68	—	mJ	Energy losses include "tail" and diode reverse recovery See Fig. 9,10,18
E_{off}	Turn-Off Switching Loss	—	3.23	—		
E_{ts}	Total Switching Loss	—	8.90	11.6		
t_{sc}	Short Circuit Withstand Time	10	—	—	μs	$V_{\text{CC}} = 720\text{V}$, $T_J = 125^\circ\text{C}$ $V_{\text{GE}} = 15\text{V}$, $R_G = 5.0\Omega$
$t_{d(\text{on})}$	Turn-On Delay Time	—	65	—	ns	$T_J = 150^\circ\text{C}$, See Fig. 11,18
t_r	Rise Time	—	87	—		$I_C = 42\text{A}$, $V_{\text{CC}} = 800\text{V}$
$t_{d(\text{off})}$	Turn-Off Delay Time	—	370	—		$V_{\text{GE}} = 15\text{V}$, $R_G = 5.0\Omega$
t_f	Fall Time	—	290	—		Energy losses include "tail" and diode reverse recovery
E_{ts}	Total Switching Loss	—	13.7	—	mJ	
L_E	Internal Emitter Inductance	—	13	—	nH	Measured 5mm from package
C_{ies}	Input Capacitance	—	5770	—	pF	$V_{\text{GE}} = 0\text{V}$
C_{oes}	Output Capacitance	—	400	—		$V_{\text{CC}} = 30\text{V}$ See Fig. 7
C_{res}	Reverse Transfer Capacitance	—	100	—		$f = 1.0\text{MHz}$
t_{rr}	Diode Reverse Recovery Time	—	107	160	ns	$T_J = 25^\circ\text{C}$ See Fig.
		—	160	240		$T_J = 125^\circ\text{C}$ 14
I_{rr}	Diode Peak Reverse Recovery Current	—	10	15	A	$T_J = 25^\circ\text{C}$ See Fig.
		—	16	24		$T_J = 125^\circ\text{C}$ 15
Q_{rr}	Diode Reverse Recovery Charge	—	680	1020	nC	$T_J = 25^\circ\text{C}$ See Fig.
		—	1400	2100		$T_J = 125^\circ\text{C}$ 16
$di_{(\text{rec})M}/dt$ During t_b	Diode Peak Rate of Fall of Recovery	—	250	—	A/ μs	$T_J = 25^\circ\text{C}$ See Fig.
		—	320	—		$T_J = 125^\circ\text{C}$ 17

IRG4PSH71KDPbF

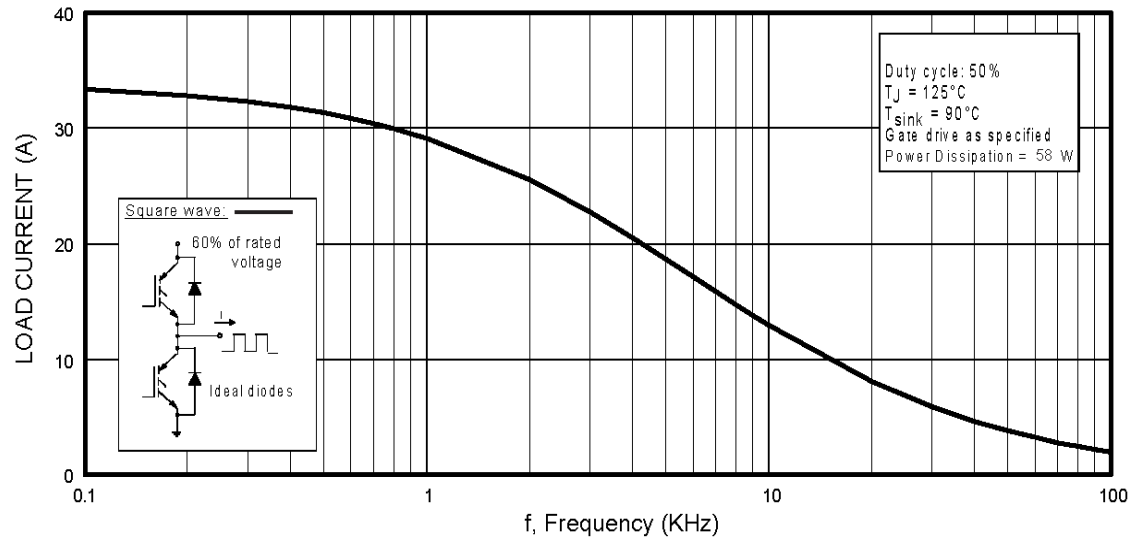


Fig. 1 - Typical Load Current vs. Frequency
 (Load Current = I_{RMS} of fundamental)

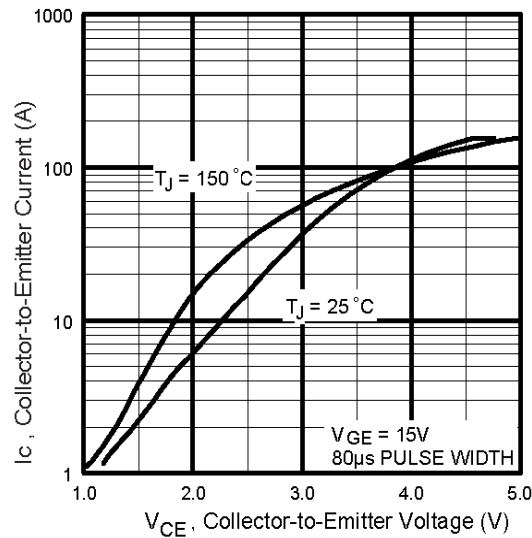


Fig. 2 - Typical Output Characteristics

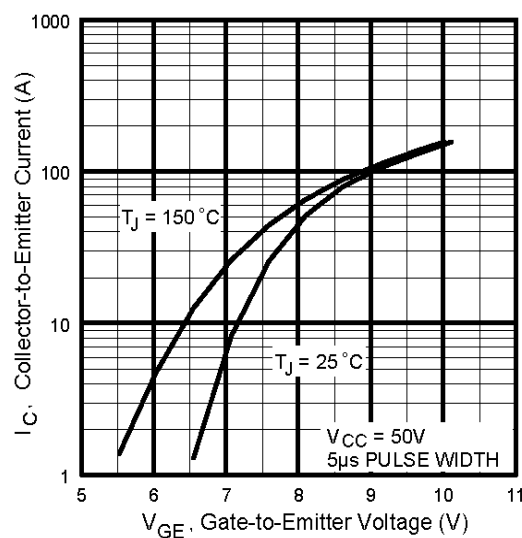


Fig. 3 - Typical Transfer Characteristics

IRG4PSH71KDPbF

International
Rectifier

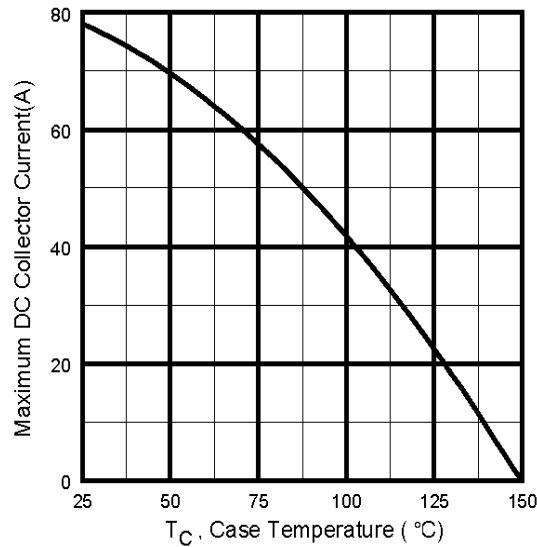


Fig. 4 - Maximum Collector Current vs. Case Temperature

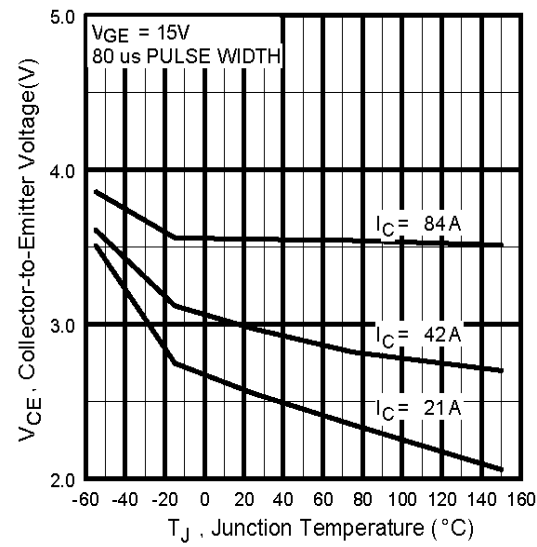


Fig. 5 - Typical Collector-to-Emitter Voltage vs. Junction Temperature

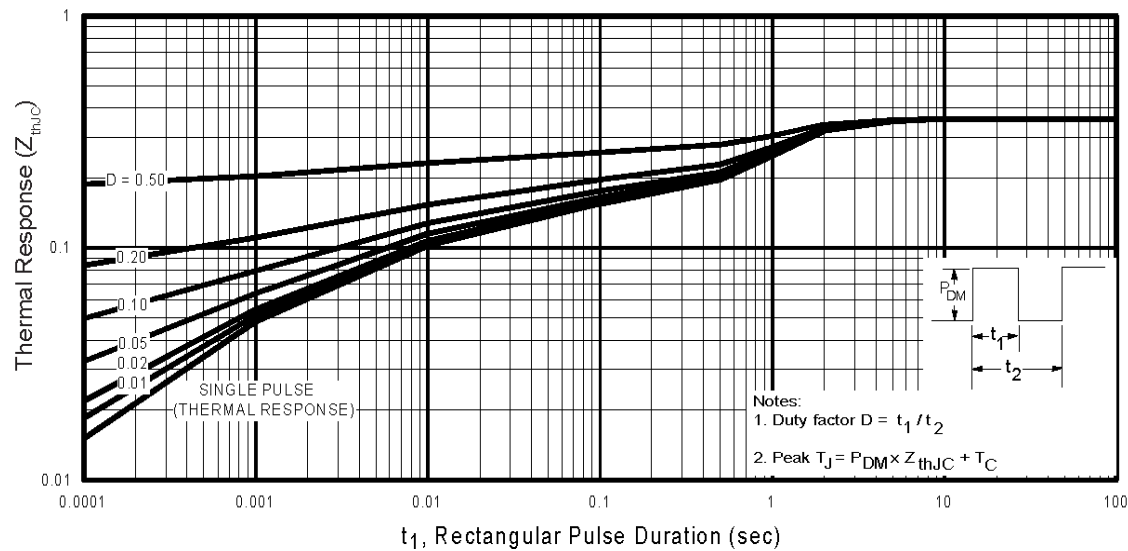


Fig. 6 - Maximum Effective Transient Thermal Impedance, Junction-to-Case

IRG4PSH71KDPbF

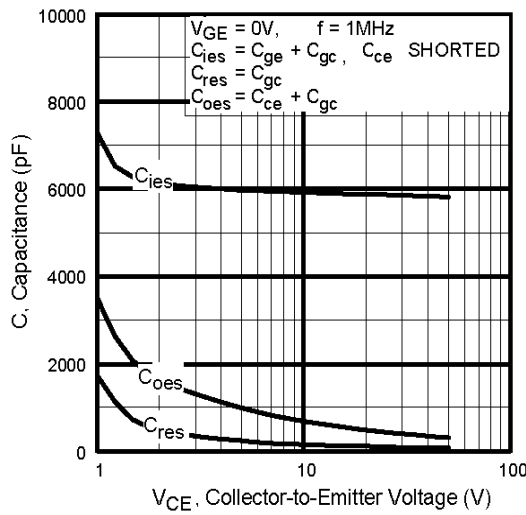


Fig. 7 - Typical Capacitance vs.
Collector-to-Emitter Voltage

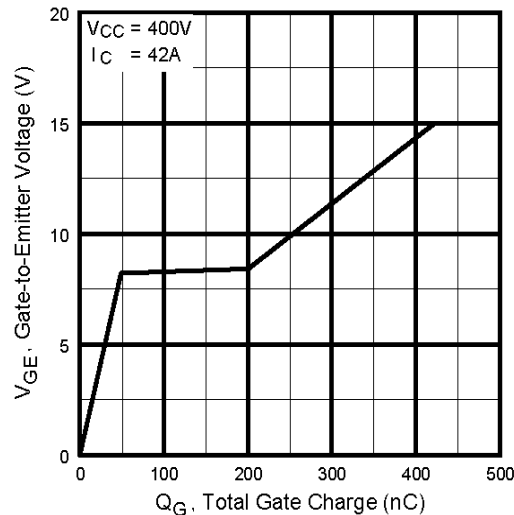


Fig. 8 - Typical Gate Charge vs.
Gate-to-Emitter Voltage

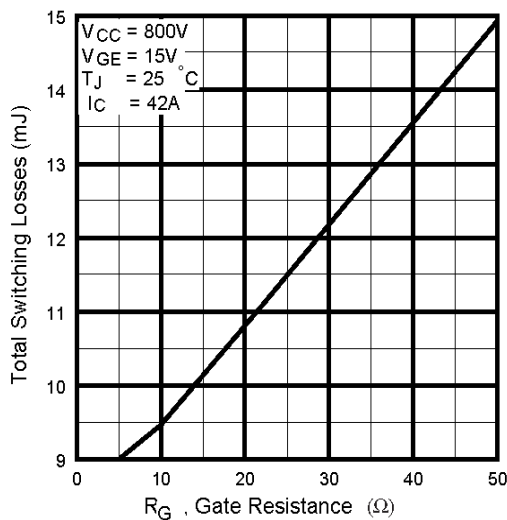


Fig. 9 - Typical Switching Losses vs. Gate
Resistance

www.irf.com

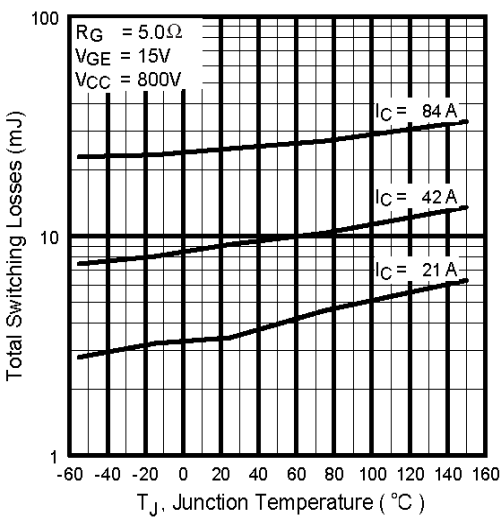
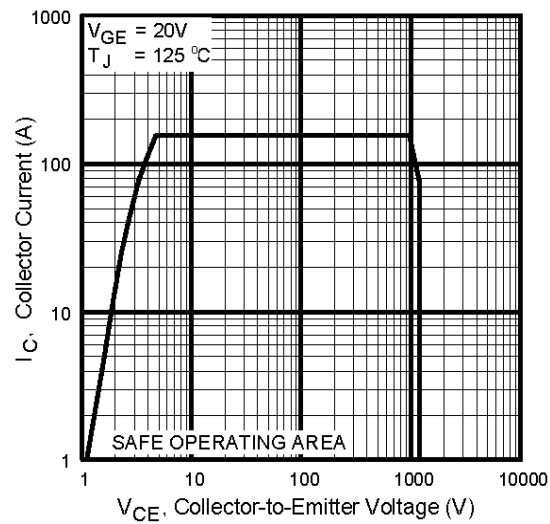
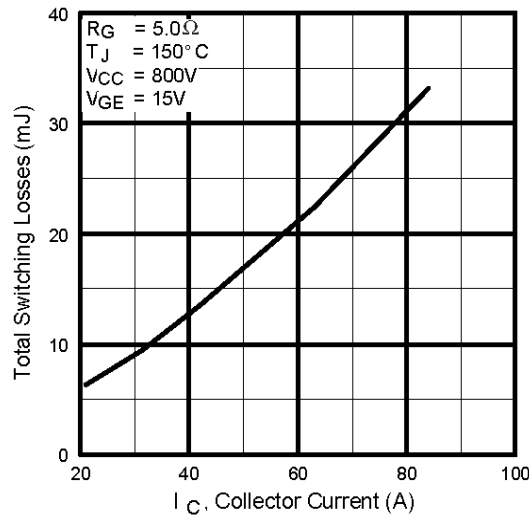


Fig. 10 - Typical Switching Losses vs.
Junction Temperature

IRG4PSH71KDPbF

International
Rectifier



Collector-to-Emitter Current

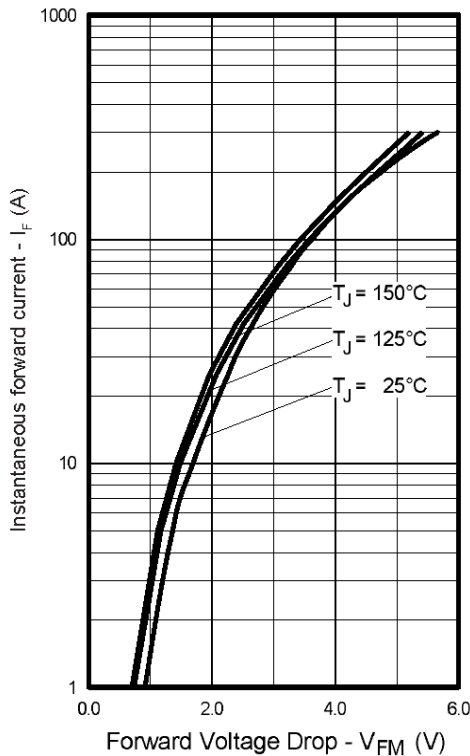


Fig. 13 - Maximum Forward Voltage Drop vs. Instantaneous Forward Current

IRG4PSH71KDPbF

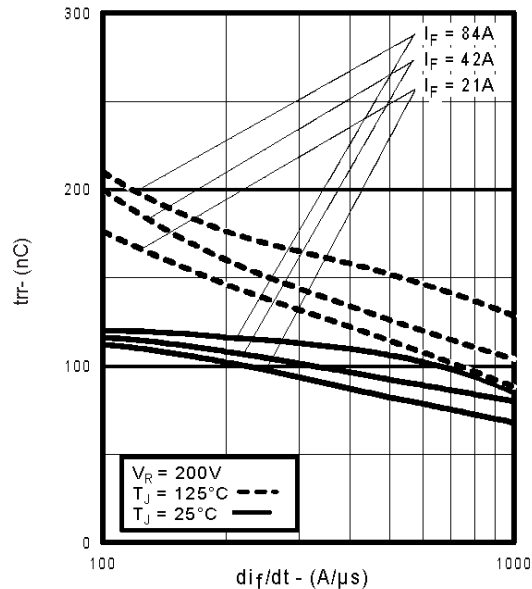


Fig. 14 - Typical Reverse Recovery vs. $\frac{di}{dt}$

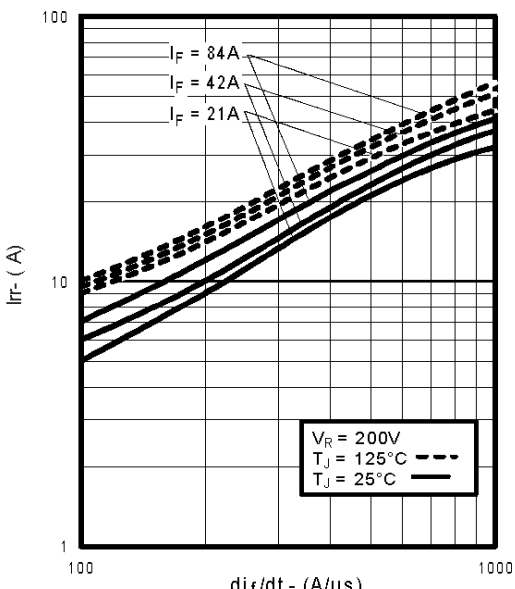


Fig. 15 - Typical Recovery Current vs. $\frac{di}{dt}$

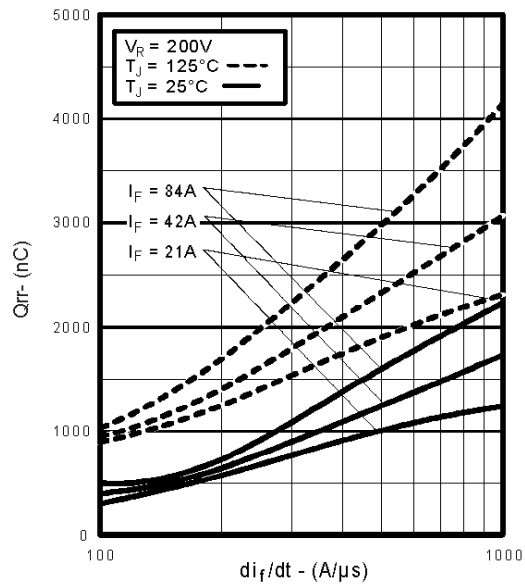


Fig. 16 - Typical Stored Charge vs. $\frac{di}{dt}$

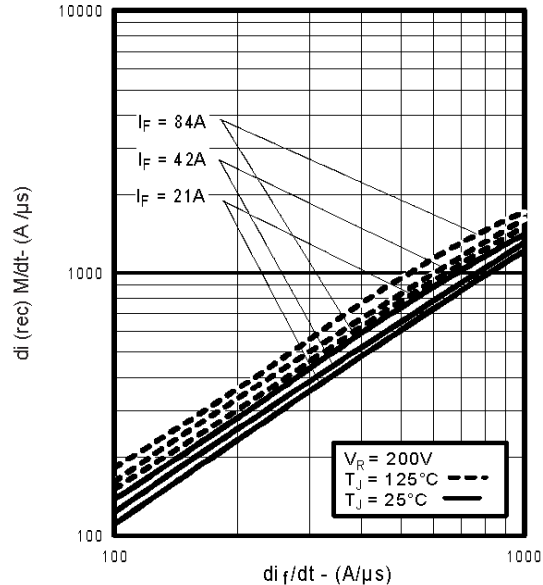


Fig. 17 - Typical $\frac{dI_{(rec)}M}{dt}$ vs. $\frac{di}{dt}$

IRG4PSH71KDPbF

International
Rectifier

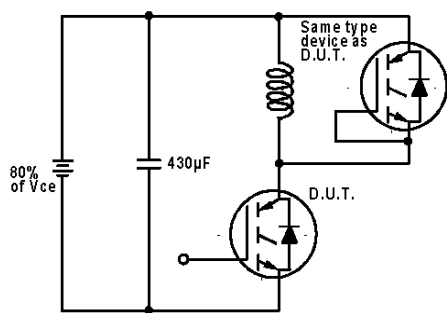


Fig. 18a - Test Circuit for Measurement of I_{LM}, E_{on}, E_{off(diode)}, t_{rr}, Q_{rr}, I_{rr}, t_{d(on)}, t_r, t_{d(off)}, t_f

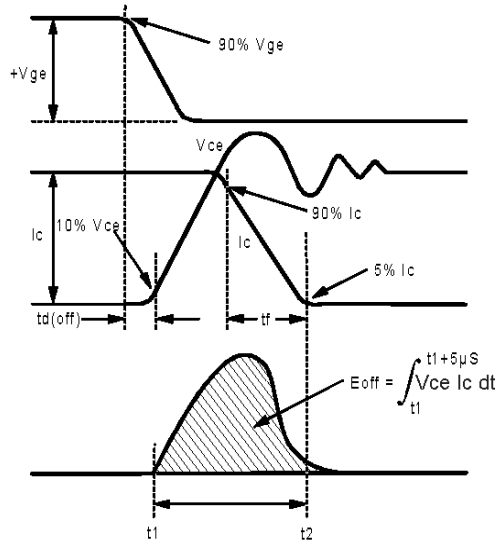


Fig. 18b - Test Waveforms for Circuit of Fig. 18a, Defining E_{off}, t_{d(off)}, t_f

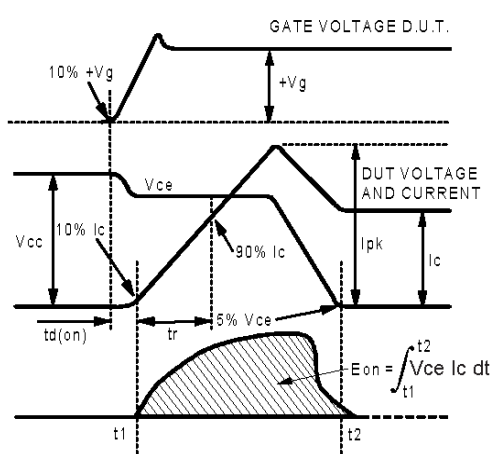


Fig. 18c - Test Waveforms for Circuit of Fig. 18a, Defining E_{on}, t_{d(on)}, t_r

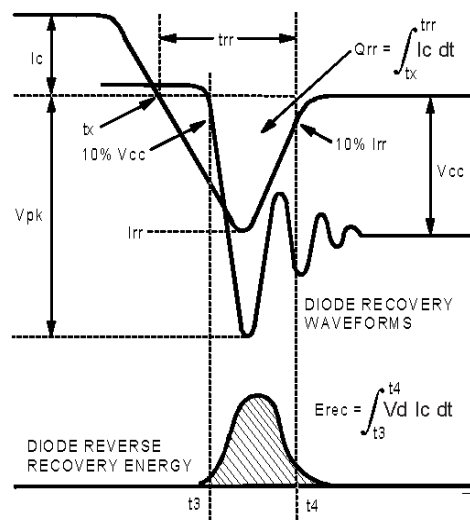


Fig. 18d - Test Waveforms for Circuit of Fig. 18a, Defining E_{rec}, t_{rr}, Q_{rr}, I_{rr}

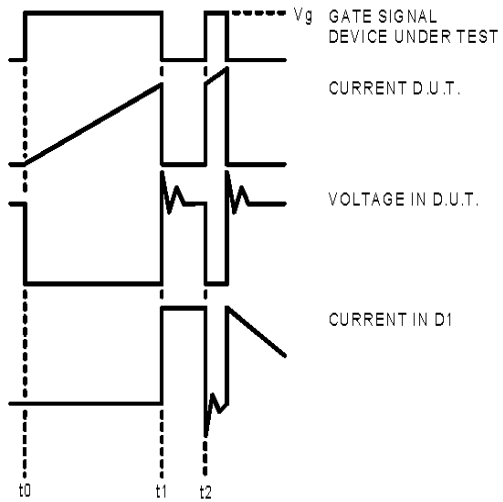


Figure 18e. Macro Waveforms for Figure 18a's Test Circuit

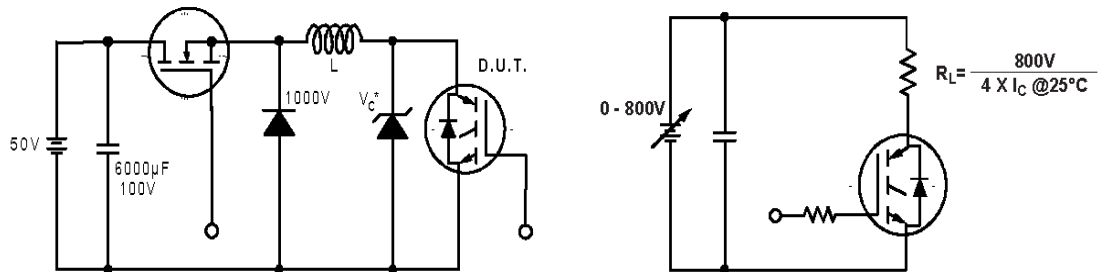


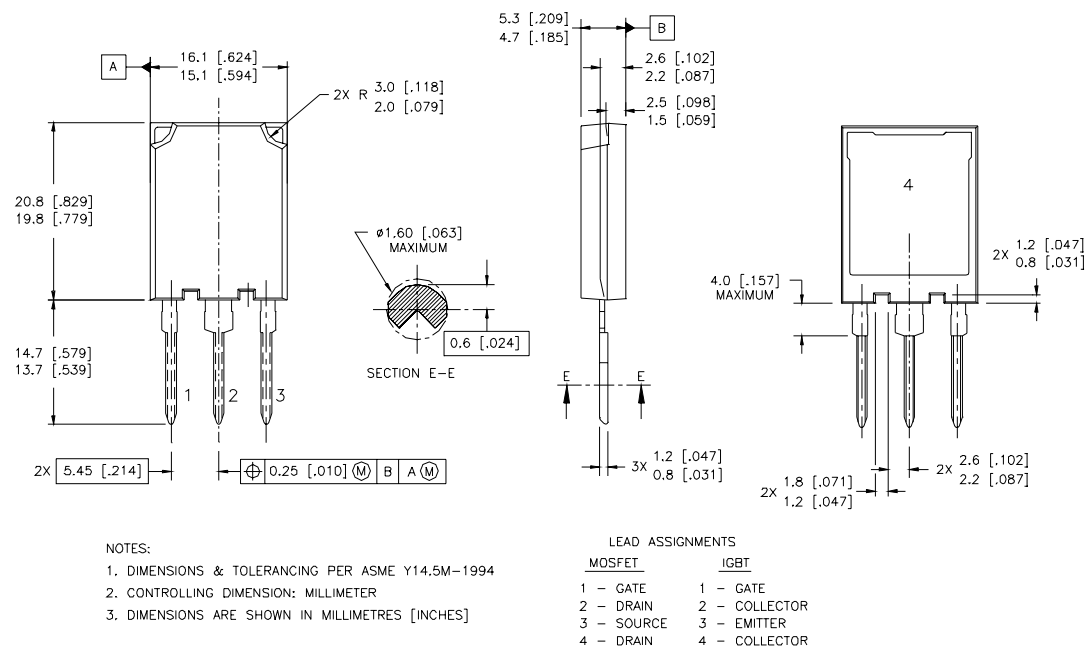
Figure 19. Clamped Inductive Load Test Circuit

Figure 20. Pulsed Collector Current Test Circuit

IRG4PSH71KDPbF

International
Rectifier

Case Outline and Dimensions — Super-247



Notes:

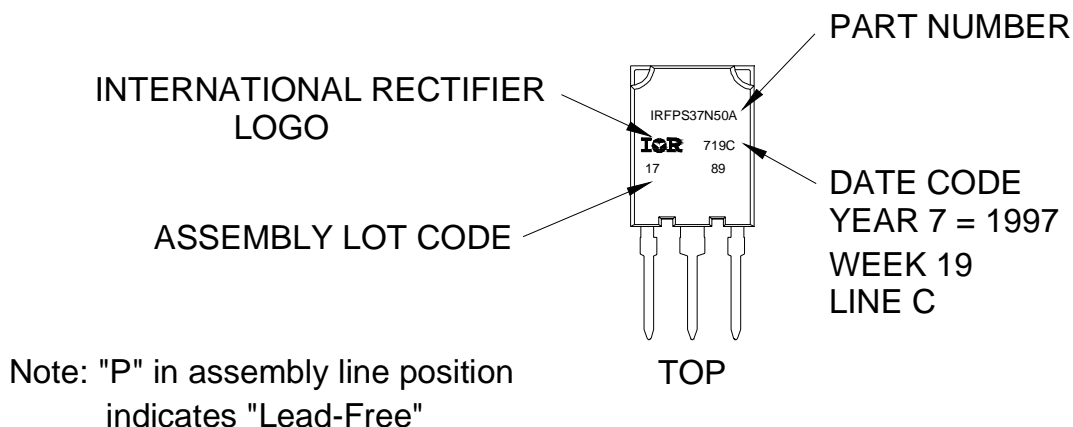
- ① Repetitive rating: $V_{GE}=20V$; pulse width limited by maximum junction temperature (figure 20)
- ② $V_{CC}=80\% (V_{CES})$, $V_{GE}=20V$, $L=10\mu H$, $R_G=5.0\Omega$ (figure 19)
- ③ Pulse width $\leq 80\mu s$; duty factor $\leq 0.1\%$
- ④ Pulse width $5.0\mu s$, single shot

International
IR Rectifier

IRG4PSH71KDPbF

Super-247 (TO-274AA) Part Marking Information

EXAMPLE: THIS IS AN IRFPS37N50A WITH
ASSEMBLY LOT CODE 1789
ASSEMBLED ON WW 19, 1997
IN THE ASSEMBLY LINE "C"



Data and specifications subject to change without notice.

International
IR Rectifier

IR WORLD HEADQUARTERS: 233 Kansas St., El Segundo, California 90245, USA Tel: (310) 252-7105

TAC Fax: (310) 252-7903

Visit us at www.irf.com for sales contact information. 09/04

www.irf.com

11



OCEAN CHIPS

Океан Электроники

Поставка электронных компонентов

Компания «Океан Электроники» предлагает заключение долгосрочных отношений при поставках импортных электронных компонентов на взаимовыгодных условиях!

Наши преимущества:

- Поставка оригинальных импортных электронных компонентов напрямую с производств Америки, Европы и Азии, а так же с крупнейших складов мира;
- Широкая линейка поставок активных и пассивных импортных электронных компонентов (более 30 млн. наименований);
- Поставка сложных, дефицитных, либо снятых с производства позиций;
- Оперативные сроки поставки под заказ (от 5 рабочих дней);
- Экспресс доставка в любую точку России;
- Помощь Конструкторского Отдела и консультации квалифицированных инженеров;
- Техническая поддержка проекта, помощь в подборе аналогов, поставка прототипов;
- Поставка электронных компонентов под контролем ВП;
- Система менеджмента качества сертифицирована по Международному стандарту ISO 9001;
- При необходимости вся продукция военного и аэрокосмического назначения проходит испытания и сертификацию в лаборатории (по согласованию с заказчиком);
- Поставка специализированных компонентов военного и аэрокосмического уровня качества (Xilinx, Altera, Analog Devices, Intersil, Interpoint, Microsemi, Actel, Aeroflex, Peregrine, VPT, Syfer, Eurofarad, Texas Instruments, MS Kennedy, Miteq, Cobham, E2V, MA-COM, Hittite, Mini-Circuits, General Dynamics и др.);

Компания «Океан Электроники» является официальным дистрибутором и эксклюзивным представителем в России одного из крупнейших производителей разъемов военного и аэрокосмического назначения «JONHON», а так же официальным дистрибутором и эксклюзивным представителем в России производителя высокотехнологичных и надежных решений для передачи СВЧ сигналов «FORSTAR».



JONHON

«JONHON» (основан в 1970 г.)

Разъемы специального, военного и аэрокосмического назначения:

(Применяются в военной, авиационной, аэрокосмической, морской, железнодорожной, горно- и нефтедобывающей отраслях промышленности)

«FORSTAR» (основан в 1998 г.)

ВЧ соединители, коаксиальные кабели, кабельные сборки и микроволновые компоненты:

(Применяются в телекоммуникациях гражданского и специального назначения, в средствах связи, РЛС, а так же военной, авиационной и аэрокосмической отраслях промышленности).



Телефон: 8 (812) 309-75-97 (многоканальный)

Факс: 8 (812) 320-03-32

Электронная почта: ocean@oceanchips.ru

Web: <http://oceanchips.ru/>

Адрес: 198099, г. Санкт-Петербург, ул. Калинина, д. 2, корп. 4, лит. А